

# Задача распознавания символического образа динамической системы

Германчук М.С., Лукьяненко В.А., Меньшиков А.О.

Крымский федеральный университет им. В. И. Вернадского, Симферополь,  
Россия

Всероссийская конференция ММРО-2019. Россия, г. Москва,  
26–29 ноября 2019 г.

# Символический образ (СО)

Символический образ  $H$  – это ориентированный граф  $G$ , построенный по покрытию  $C$  фазового пространства исследуемой динамической системы и отражающий переходы из одного элемента разбиения другой.

Пусть  $C = (C_i, \dots, C_k)$  – конечное покрытие области  $M$  замкнутыми множествами, которые назовем ячейками. Имеется область  $M$ , динамика  $F$  и построенное покрытие  $C$ , тогда можно построить такой граф  $G$ , что каждая его вершина  $i$  соответствует ячейке  $C_i$ , а ребра соответствуют узлам между ячейками, то есть направленное ребро  $i \rightarrow j$  существует тогда и только тогда, когда  $F(C_i) \cap C_j \neq \emptyset$ . Этот ориентированный граф и будет называться символическим образом.

# Алгоритм построения символического образа

1. Для исходного множества  $M_0$ , в котором лежат значения дискретной динамической системы, строим ячеечное покрытие  $C$ . Ячейки имеют форму квадрата с заранее заданным размером ребра  $d_0$  (в общем случае ячейки могут иметь произвольную форму и произвольный размер).
2. Для покрытия  $C$  строим граф  $G$ , являющийся символическим образом.
3. Используя один из алгоритмов поиска сильно связанных вершин (алгоритмы Тарьяна [7], Седжвика [8], поиска сильно связанных вершин на основе поиска путей [9]), выделяем сильно связанные вершины  $\{i_k\}$ . Если  $\{i_k\} = \emptyset$ , то в области  $M_0$  нет аттрактора и локализуемое цепно-рекуррентное множество является пустым и процесс его локализации прекращается [6]. Иначе, удаляем из графа невозвратные вершины и от области  $M_0$  переходим к новой области  $M_1$ , такой что  $M_1 = \{x \in M_0^{i_k} : i_k \in G\}$ .
4. Строим для нового множества  $M_1$  покрытие  $C_1$ , так что размер ребра новой ячейки  $d_1 = \frac{d_0}{2}$ . Переходим к пункту 2 в том случае, если  $d_1 > \varepsilon$ , где  $\varepsilon$  – заранее заданный предельный размер ячейки.

Задача программной реализации алгоритма построения символического образа основывается на теории предложенной Г. С. Осипенко. Для реализации данного проекта был выбран язык программирования Python [10]. Для отображения графики выбрана графическая среда OpenGL (библиотека GLUT).

Использованы:

- библиотека NetworkX [12], предназначенная для создания, работы и изучения структур, динамики и функций сложных сетей, а следовательно направленных графов;
- библиотека NumPy [13], предназначенная для работы с двумерными массивами.
- библиотека SciPy [14], которая позволяет решать как простые дифференциальные системы, так и системы дифференциальных уравнений с параметрами.

Среда разработки – Anaconda [15].

Все тесты проведены на MacBook Pro 2015 с процессором Intel Core i5 2,7 GHz и памятью 8 ГБ 1867 MHz DDR3, операционная система macOS High Sierra.

# Реализация алгоритма построения СО

Создан класс `osipGraph` и методы `__init__`, `cellDiv`, `fillNodes`, `giveDir`, `giveDir_linear`, `deleteComponents`, `findPlace`, `findPlace_linear`. Последовательность применения методов:

- 1 Инициализируется граф, задаются границы, размеры ячеек разбиения.
- 2 Применяется метод `fillNodes`, в котором каждой вершине графа сопоставляются ячейки покрытия.
- 3 Выполняется `giveDir` или `giveDir_linear`, в зависимости от выбранного метода отображения. Ячейки отображаются поточечно или линейно, к каждой вершине добавляются направленные ребра.
- 4 Завершается первый этап алгоритма методом `deleteComponents`. Алгоритм Тарьяна удаляет все несильно связанные вершины, оставляя только те, соответствующие ячейки которых будут в последствии делиться на четыре новых.
- 5 Метод `cellDiv` для оставшихся вершин делит соответствующие им ячейки на новые. Алгоритм переходит к третьему шагу, если размер ячейки позволяет разделить снова.

В работе проведен рефакторинг данного метода с целью добавить возможность использовать не квадратную область для исследования. Также был изменен метод определения номера узла. Теперь, область разбивается на ячейки, каждой из которых дается номер строки и номер столбца, где отсчет строк идет сверху вниз, а отсчет столбцов слева направо. Затем, используя формулу  $nodeNumber = col + row * self.lengthOfSide[0]$  вычисляется номер узла. Это нужно для того, чтобы в дальнейшем поиск номера ячейки, в которое попадает отображение точки, вычислялся всего за три действия: вычисление номера строки, столбца и далее самого номера. Это значительно ускоряет работу программы.

Для точечного метода, который был незначительно переделан, выбираем ячейки начиная с нулевой, и отображаем координаты определенного количества равномерно заданных точек, принадлежащих ячейке. От количества данных точек будет сильно зависеть время и точность работы. По результатам проведенных подсчетов, оптимальное количество – девять точек. После отображения ищется в какую ячейку попали отображенные точки с помощью функции `findPlace()`.

Для линейного метода последовательность действий:

- 1 Отображаются верхняя левая и нижняя правая координаты ячейки.
- 2 С помощью метода `findPlace_linear` находятся ячейки, в которые попадают отображения.
- 3 Строятся ребра во все ячейки, лежащие в прямоугольнике, покрывающим найденные ячейки.

Завершает первый этап метод `deleteComponents()`.

В начале добавляются все ячейки, которые отображаются сами в себя в отдельный список. Затем с помощью метода `strongly_connected_components` из библиотеки `NetworkX` находятся все сложные компоненты. Наконец, удаляются все вершины, не являющиеся сложными и не входящие в список тех, что отображаются в себя. Теперь граф полностью готов к делению.

Деление ячеек на четыре новых реализовано в методе `cellDiv`.

Для каждой ячейки, что вошла в граф после удаления сложных компонент, в новом инициализированном графе строится четыре ячейки по такому принципу: первая ячейка имеет те же координаты вершины, что и изначальная, вторая ячейка справа от первой, третья снизу и четвертая в нижнем правом углу.

После получения нового графа, можно передавать его значения старому для сохранения в памяти и проделать те же операции снова.

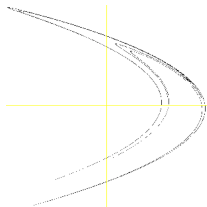
Что же касается прорисовки графа, то она тривиальна и реализована в функции `drawgraph`.



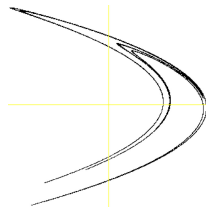
1. Отображение Хенона [17] – это дискретная динамическая система с параметрами  $a$ ,  $b$ , в зависимости от которых будут получаться различные цепно-рекуррентные множества:

$$\begin{cases} x_{n+1} = 1 - ax_n^2 + by_n \\ y_{n+1} = x_n \end{cases},$$

Параметры  $a = 1.4$ ,  $b = 0.3$ , при которых отображение называется классическим и известно, что оно имеет цепно-рекуррентное множество в области  $[-1.5, 1.5] \times [-\frac{10}{3}, \frac{10}{3}]$ .



Точечный метод



Линейный метод

Рис.: Отображение Хенона

2. Отображение Заславского [18] имеет вид:

$$\begin{cases} x_{n+1} = x_n + \nu(1 + \mu y_n) + \epsilon \nu \mu \cos(2\pi x_n) \bmod 1 \\ y_{n+1} = e^{-r}(y_n + \epsilon \cos(2\pi x_n)) \end{cases},$$

Выбраны параметры:  $\epsilon = 5, \nu = 0.2, r = 2, \mu = 1 - \frac{e^{-r}}{r}$ . Область поиска:  $[-1, 1][[-1, 1]$ .

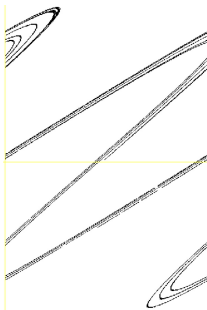


Рис.: Отображение Заславского

3. Аттрактор Питера де Йона [19] задается:

$$\begin{cases} x_{n+1} = \sin(ay_n) - \cos(bx_n) \\ y_{n+1} = \sin(cx_n) - \cos(dy_n) \end{cases},$$

Выбраны параметры  $a = -2.7, b = -0.09, c = -0.86, d = -2.2$ .

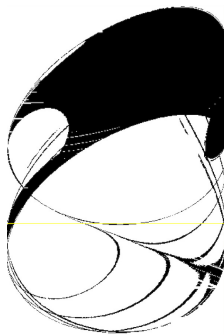


Рис.: Аттрактор Питера де Йона

В работе систематизированы теоретические и прикладные результаты решения задачи построения символического образа динамической системы и выделения цепно-рекуррентных множеств, выбраны и модернизированы алгоритмы, пригодные для реализации задачи, реализованы алгоритмы построения траекторий динамической системы с использованием точечного метода и линейного метода реализована визуализация графического отображения данных траекторий.

Точечный алгоритм оказался достаточно быстрым и точным для построения символических образов. Возможность изменять количество точек позволяет контролировать скорость и точность работы программы.

Выбранная среда разработки Anaconda и язык Python, оправдали ожидания и обеспечили приемлемую скорость, точность и стабильность. В перспективе предполагается реализация других методов построения символического образа, основанных на комбинации адаптивных и линейных алгоритмов.